

Calcul Formel et Symbolique

Équations algébriques et différentielles, Algèbre linéaire exacte, Cryptanalyse

Jean-Guillaume Dumas, Françoise Jung, Clément Pernet

Université Grenoble Alpes, Laboratoire Jean Kuntzmann, UMR CNRS

Grenoble, 28 novembre 2019



MOSAIC **CALCUL EXACT** **CALCUL PARALLÈLE**
CALCUL SYMBOLIQUE **CALCUL FORMEL**
CAS₃C₃C **COMPUTER ALGEBRA**
CALCUL ALGÈBRIQUE



Une des premières rencontres à Strasbourg

DESIR

Differential Equations Solutions
at Irregular and Regular singular points

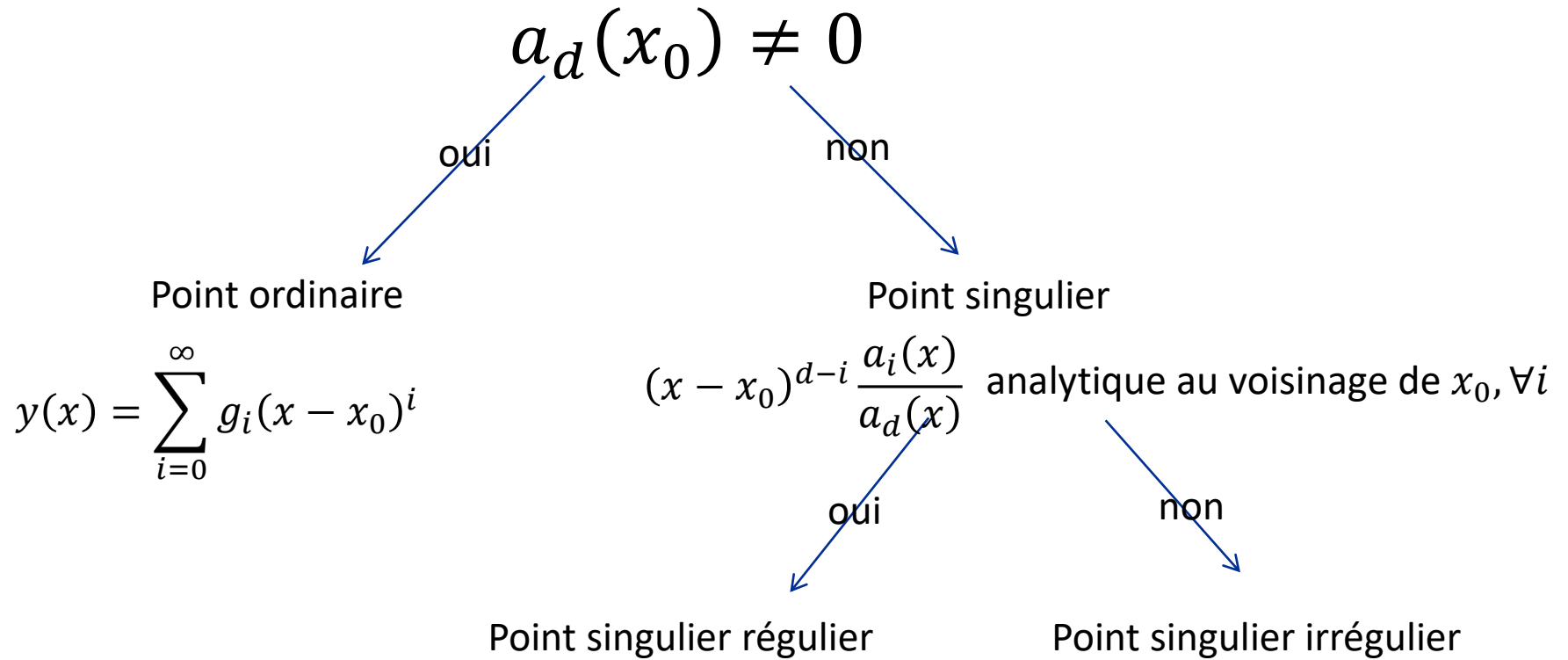
DESIR-I de 1982 à 1988

DESIR-II de 1988 à 1992

Un logiciel qui permet l'étude
des équations différentielles scalaires linéaires et homogènes en temps complexe
d'un ordre quelconque
au voisinage de points singuliers réguliers et irréguliers.

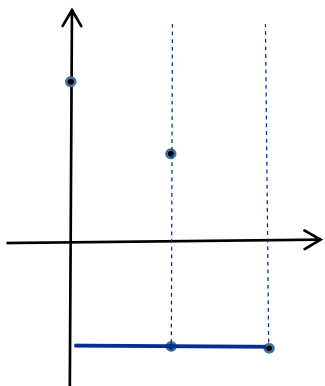
$$L = a_d(x)\partial^d + \cdots + a_1(x)\partial + a_0(x), \quad \partial = \frac{d}{dx}, \quad a_i \in \mathbb{Q}[x]$$

Singularités



Polygone de Newton

$$L = 4x\partial^2 + 2(4 - x^2)\partial + x^2$$



0 est point singulier régulier ssi une unique arête horizontale.

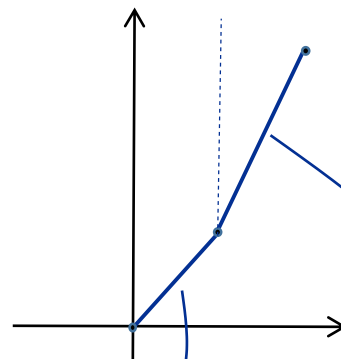
$$y(x) = x^\lambda \sum_{i=0}^{\infty} g_i x^i$$

λ est racine de l'équation indicelle

$$L = 4x^5\partial^2 + 2x^2\partial + 1$$

$$L = \sum a_{i,j} x^j \partial^i$$

$$a_{i,j} \neq 0 \longrightarrow (i, j - i)$$



2 arêtes, de pentes 1 et 2

$$y(x) = e^{\frac{a}{x}} \varphi(x)$$

$$y(x) = e^{\frac{b}{x^2}} \varphi(x)$$

a et b sont racines des équations caractéristiques

Les séries formelles solutions

Une base de solutions de la forme :

$$x = t^r, r \in \mathbb{N}^*$$

$$y(t) = e^{P(\frac{1}{t})} t^\lambda \sum_{i=0}^s \hat{\varphi}_i(t) \log^i(t), \quad \hat{\varphi}_i \in \mathbb{C}[[t]]$$

Un prototype écrit en REDUCE, incluant plusieurs modules

- Module arithmétique D5 : calcul avec des nombres algébriques
- Module FROBENIUS : étude des singularités régulières
- Module NEWTON : étude des singularités irrégulières
- Module RESOMMATION : module numérique développé à Strasbourg en FORTRAN
- Module AGILE : module graphique développé à Strasbourg



Thèses soutenues

A. DUVAL Equations aux différences dans le champ complexe – thèse d’Etat 1984 – U.L.P.

D. DUVAL Diverses questions relatives au calcul formel avec des nombres algébriques – thèse d’Etat 1987 – U.J.F.

E. TOURNIER Solutions formelles d’équations différentielles. Le logiciel de calcul formel DESIR – thèse d’Etat 1987 – U.J.F.

A. HILALI Solutions formelles de systèmes différentiels linéaires au voisinage d’un point singulier – thèse d’Etat 1987 – U.J.F.

F. RICHARD-JUNG Représentations graphiques de solutions d’équations différentielles dans le champ complexe – thèse 1988 – U.L.P.

A. HILALI Contribution à l’étude des points singuliers des systèmes différentiels linéaires – thèse de 3^{ème} cycle 1982 – U.J.F.

EL-TAHIRI Algorithme du polygone de Newton appliqué à la résolution d’équations algébriques – thèse de 3^{ème} cycle 1984 – U.J.F.

C. CHAFFY-CAMUS Interpolation polynomiale et rationnelle d’une fonction de plusieurs variables complexes – thèse de 3^{ème} cycle 1984 – U.J.F.

H. NAJID-ZEJLI Extensions algébriques : cas général et cas des radicaux – thèse de 3^{ème} cycle 1985 – U.J.F.

CATHODE

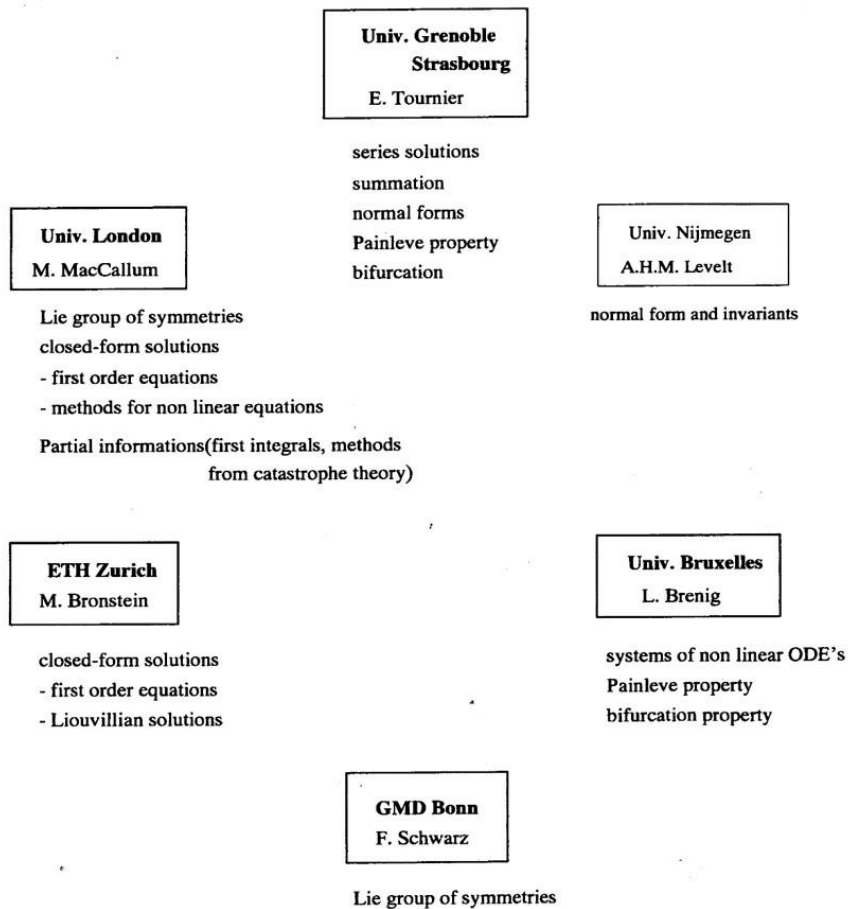
Computer Algebra Tools for Handling Ordinary Differential Equations

CATHODE-1 de 1992 à 1995

CATHODE-2 de 1997 à 2000

3 Composition of the working group and main domains activities

The composition of the Working group is given in the following figure



Les objectifs de CATHODE

Objectifs à long terme

Produire un **logiciel de calcul formel** qui accepte en entrée une équation ou un système d'EDO et qui retourne toutes les informations *analytiques et qualitatives* sur les solutions.

Ceci en utilisant toutes les techniques modernes de calcul pour implémenter les algorithmes mathématiques : solutions analytiques, resommation, formes normales, méthode d'approximation locale et asymptotique, aide graphique pour l'étude locale. ...

Objectifs à court terme

- Spécifications du concept de solution d'une EDO
- Spécifications des primitives mathématiques communes à divers aspects de la résolution d'EDO
- Implémenter ces primitives

Les workshops de CATHODE-1

- 1993 (28 mars-2 avril) à Han sur Lesse
- 1994 (5 – 10 septembre) à Dagsthul
- 1994 (21 – 25 mars) à Londres
- 1995 (9 – 12 janvier) à Nijmegen



Londres, 1994

Les workshops de CATHODE-2

- 1997 (1-5 septembre) à Han sur Lesse
- 1998 (11-15 mai) à Valladolid, Castillo de la Mota
- 1999 (3-7 mai) au CIRM, Luminy
- 2000 (4-8 avril) au CIRM, Luminy



Han sur Lesse - 1997

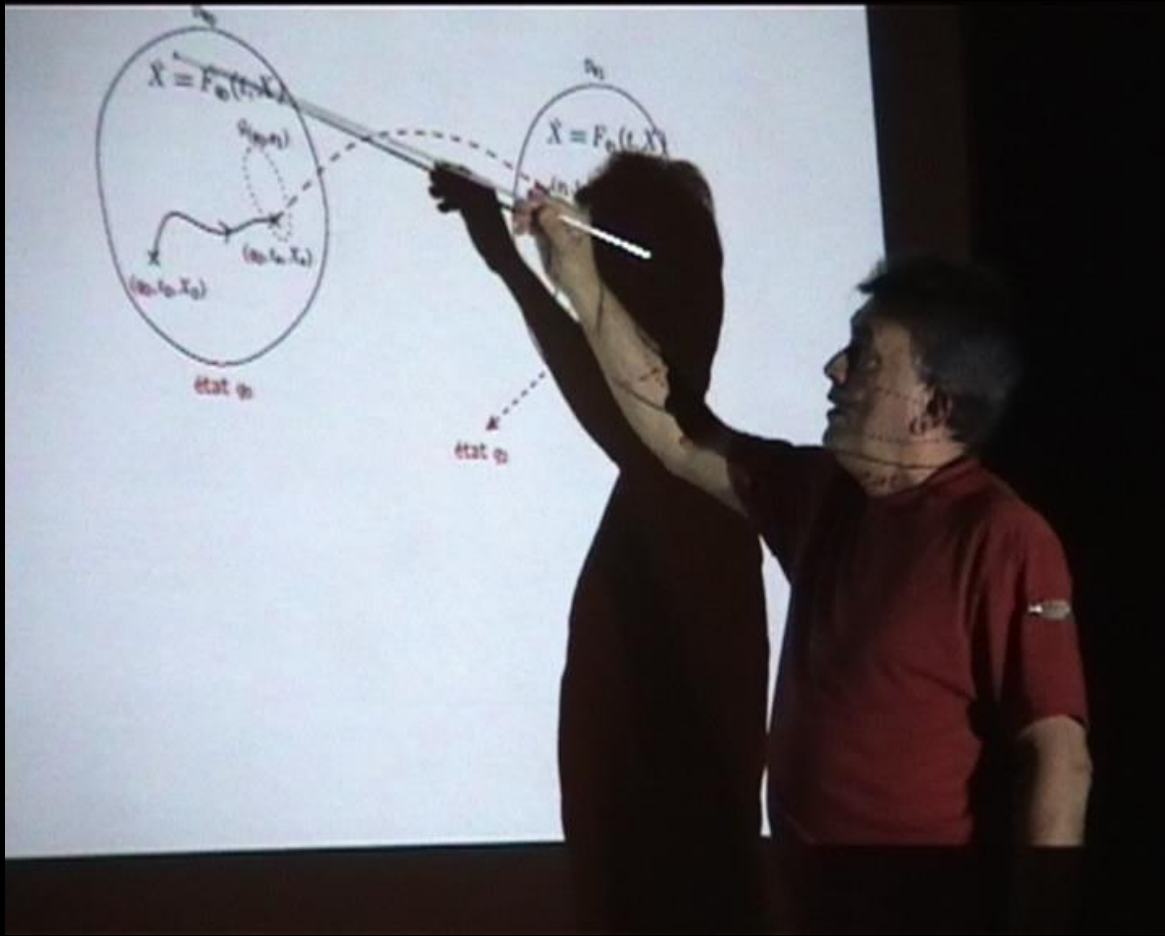
Les principales applications étudiées

« Five main types of applications whose diversity reflects the versatility of our methods, have been considered during the three years of CATHODE-2 :

- 1- Electric discharges in gases
- 2- Electric power networks at national scale
- 3- Properties of neural networks
- 4- Methods for generating thermodynamical equations of state for mixture of unperfect gases
- 5- Cosmology »

Thèses soutenues

- M. BARKATOU Contribution à l'étude des équations différentielles et aux différences dans le champ complexe - 1989
- G. CHEN Solutions formelles de systèmes d'équations différentielles linéaires ordinaires homogènes - 1990
- L. STOLOVITCH Classification analytique de champs de vecteurs - 1994
- F. NAEGELE Autour de quelques équations fonctionnelles analytiques - 1995
- E. HUBERT Etude Algébrique et Algorithmique des Singularités des Equations Différentielles Implicites - 1997
- L. TESTARD Calcul et visualisation en nombres complexes - 1997
- G. THOMAS Contributions théoriques et algorithmiques à l'étude des équations différentielles algébriques. Approche par le calcul formel - 1997
- E. PFLUGEL Résolution symbolique des systèmes différentiels linéaires - 1998
- L. REBILLARD Etude théorique et algorithmique des séries de Chebyshev solutions d'équations différentielles holonomes - 1998
- R AID Contribution à l'estimation de l'erreur globale des méthodes d'intégration numérique à un pas. Application à la simulation de réseaux électriques - 1998
- A. WAZNER Formes canoniques invariantes d'un système linéaire différentiel homogène, polygone de Newton, calcul de la partie exponentielle des solutions formelles - 1998
- J. VISCONTI Résolution numérique des Equations Algébro-Différentielles, Estimation de l'erreur globale et Réduction formelle de l'indice - 1999
- G. EICHENMULLER Réduction et Intégration symbolique des systèmes d'équations différentielles non-linéaires - 2000
- M. MIRICA-RUSE Contribution à l'étude des systèmes hybrides - 2002
- F. BERINGER Contributions à la résolution d'équations différentielles non linéaires scalaires par la méthode du polygone de Newton - 2002
- A. GIRARD Analyse Algorithmique des Systèmes Hybrides - 2004
- E. FARCOT Etude d'une classe d'équations différentielles affines par morceaux modélisant des réseaux de régulation biologique - 2005
- L. TOURNIER Etude et modélisation mathématique de réseaux de régulation génétique et métabolique - 2005
- A. RONDEPIERRE Algorithmes hybrides pour le contrôle optimal des systèmes non linéaires - 2006
- S. KOLB Théorie des bifurcations appliquée à l'analyse de la dynamique du vol des hélicoptères - 2007



Plan

Équations algébriques et différentielles

Algèbre linéaire exacte

Multiplication de matrices

Élimination de Gauss

Cryptanalyse : affiner les paramètres de cryptosystèmes

Échange de clef secrète dans un groupe (Diffie-Hellman)

Logarithme discret modulaire par calcul d'index dans une courbe elliptique

Bases de Gröbner, algorithme de Buchberger et algèbre linéaire

Challenge de calcul HPAC

Algèbre linéaire exacte

Domaine de calcul : $\mathbb{Z}, \mathbb{Z}/p\mathbb{Z}, \mathbb{F}_{p^k}, \mathbb{F}_{p^k}[X]$, etc

Similarité avec l'algèbre linéaire numérique :

- ▶ brique de base centrale,
- ▶ forte intensité calcul/mémoire,
- ▶ algorithmique (relativement) simple et régulière.

Spécificités :

- ▶ Déficiência de rang,
- ▶ Absence de problème de stabilité,
- ▶ diversité des arithmétiques (corps finis, multiprécision, etc).

Illustration ici sur

- ▶ deux problèmes clés : le produit de matrices et l'élimination de Gauss
- ▶ illustrés par les contributions Grenobloises

Algorithmes rapides de produits matriciels

Algorithme de Strassen

$$\begin{aligned}\rho_1 &\leftarrow (a_{11} + a_{22})(b_{11} + b_{22}), & \rho_4 &\leftarrow (a_{11} + a_{12})b_{22}, \\ \rho_2 &\leftarrow (a_{12} - a_{22})(b_{21} + b_{22}), & \rho_5 &\leftarrow a_{11}(b_{12} - b_{22}), \\ \rho_3 &\leftarrow (a_{21} - a_{11})(b_{11} + b_{12}), & \rho_6 &\leftarrow a_{22}(b_{21} - b_{11}), \\ & & \rho_7 &\leftarrow (a_{21} + a_{22})b_{11},\end{aligned}$$

$$\begin{pmatrix} c_{11} & c_{12} \\ c_{21} & c_{22} \end{pmatrix} = \begin{pmatrix} \rho_1 + \rho_2 - \rho_4 + \rho_6 & \rho_6 + \rho_7, \\ \rho_4 + \rho_5 & \rho_1 + \rho_3 + \rho_5 - \rho_7 \end{pmatrix}.$$

V. Strassen 1969 : 2×2 en **18**+ et **7** \times $\Rightarrow n \times n$ en **$7n^{2.8074}$** + $\mathbf{o}(n^{2.8076})$

S. Winograd circa 1970 : 2×2 en **15**+ et **7** \times $\Rightarrow n \times n$ en **$6n^{2.8074}$** + $\mathbf{o}(n^{2.8074})$

N. Gastinel 1971 : Interprète Strassen comme produits de Hadamard.

\Rightarrow introduit une paramétrisation

P. Chatelin 1985 : Transformations invariantes d'algorithmes

\Rightarrow Dérive Winograd de Strassen

Algorithmes rapides de produits matriciels

Dumas Gautier Pernet 2002 : Mise en oeuvre pour les corps finis : BLAS + Strassen

Boyer Dumas Pernet Zhu 2009 : Empreinte mémoire de Strassen-Winograd

Dumas Pernet Sedoglavitch (en cours) : $A \times A^T$ en $7.5 +$ et $5 \times$

⇒ généralise les paramétrisations de Chatelin

Autres algorithmes sous-cubiques praticables :

Kaporin'04 : Mise en pratique de [Pan'72]

Boyer Dumas 16 : Adaptation exacte de [Bini & al.' 79] aux corps finis

BLIS'16, Ballard'14 : Strassen pour les BLAS numériques

Schwartz & al. 17,19 : Transformations invariantes en pratique

Mise en oeuvre

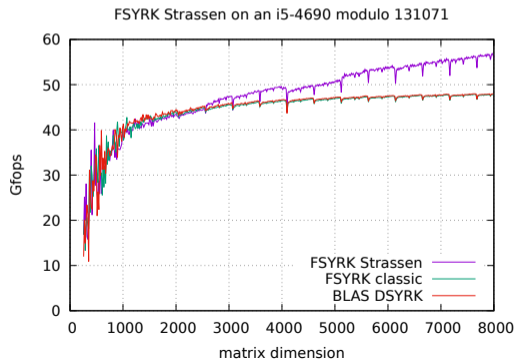
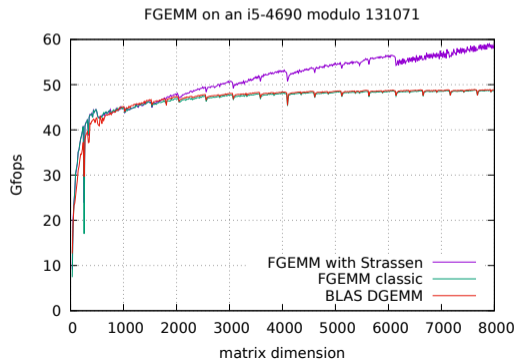
Bibliothèques d'algèbre linéaire exacte : `LinBox`, `fflas-ffpack`

- ▶ Open source, paquets : Debian, arch, fedora
- ▶ Noyaux dans SageMath, Macaulay2
- ▶ Approche adoptée par Maple, Mathematica, magma

Mise en oeuvre

Bibliothèques d'algèbre linéaire exacte : LinBox, fflas-ffpack

- ▶ Open source, paquets : Debian, arch, fedora
- ▶ Noyaux dans SageMath, Macaulay2
- ▶ Approche adoptée par Maple, Mathematica, magma

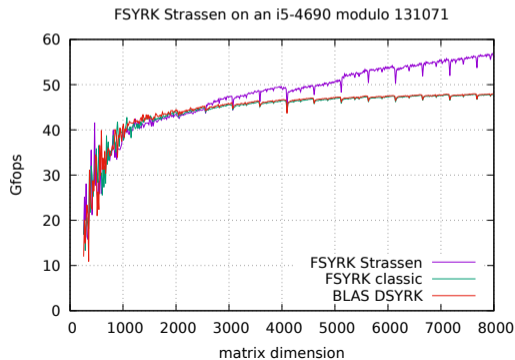
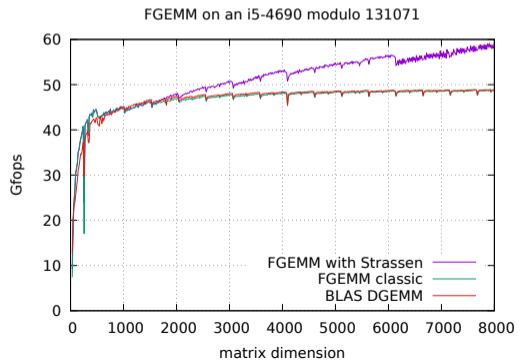


Mise en oeuvre

Bibliothèques d'algèbre linéaire exacte : LinBox, fflas-ffpack

- ▶ Open source, paquets : Debian, arch, fedora
- ▶ Noyaux dans SageMath, Macaulay2
- ▶ Approche adoptée par Maple, Mathematica, magma

	$A \times B$	$A \times A^T$
$n = 2000$	0.37s	0.19s
$n = 8000$	s 17.3	9.15s



Élimination de Gauss

Algorithmique et implantations haute performance

Villard 88 : Parallélisation sur un hypercube 16 proc.

Dumas Giorgi Pernet 08 : Mise en pratique des réductions au produit de matrice

Dumas Pernet Sultan 16 : Parallélisation multi-cœur

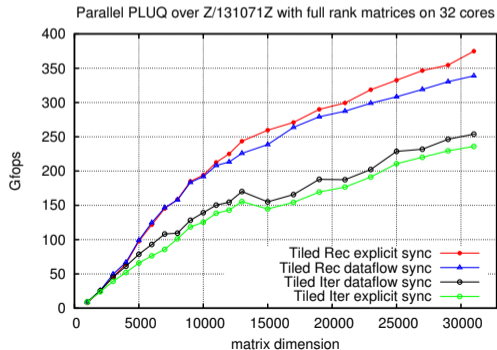
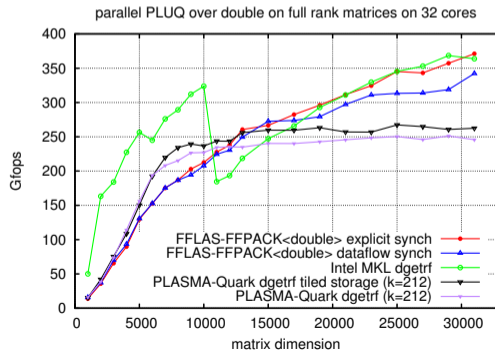
Élimination de Gauss

Algorithmique et implantations haute performance

Villard 88 : Parallélisation sur un hypercube 16 proc.

Dumas Giorgi Pernet 08 : Mise en pratique des réductions au produit de matrice

Dumas Pernet Sultan 16 : Parallélisation multi-cœur



Pivotage et profils de rang

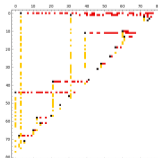
Spécificité du calcul exact :

- ▶ Déficience de rang
- ▶ Le rang ou le profil de rang sont l'objet du calcul

Dumas Pernet Sultan 15 : *Computing the rank profile matrix*

- ▶ Nouvel invariant, résumant toute l'information des profils de rang
- ▶ caractérisation des conditions sur le pivotage pour la calculer
- ▶ $O(n^\omega)$ par un nouvel algorithme récursif par tuiles.
- ▶ Connexion avec la forme généralisée de Bruhat [Della-Dora 73]

Pernet 16 : application à l'algorithmique des matrices quasi-séparables



Plan

Équations algébriques et différentielles

Algèbre linéaire exacte

Multiplication de matrices

Élimination de Gauss

Cryptanalyse : affiner les paramètres de cryptosystèmes

Échange de clef secrète dans un groupe (Diffie-Hellman)

Logarithme discret modulaire par calcul d'index dans une courbe elliptique

Bases de Gröbner, algorithme de Buchberger et algèbre linéaire

Challenge de calcul HPAC

Diffie-Hellman (1976)

- est public



secret ●



● secret

Diffie-Hellman (1976)

● est public



secret ●



● & ●



● secret

Diffie-Hellman (1976)

● est public



secret ●



● & ●



● & ●



● secret

Diffie-Hellman (1976)

● est public



● & ●



● & ●



secret ●

● & ● & ●

● secret

Diffie-Hellman (1976)

● est public



● & ●



● & ●



secret ●

● & ● & ●

● secret

▶ $g = \bullet$

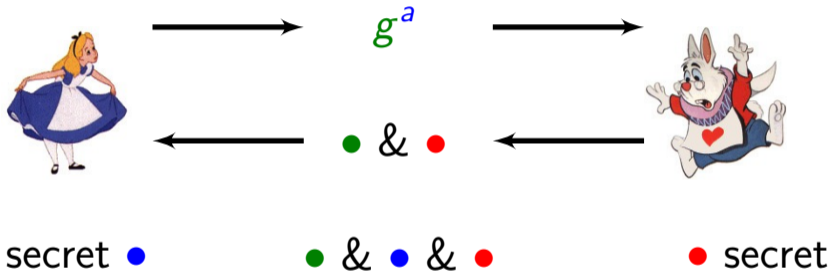
▶ $a = \bullet$

▶ $b = \bullet$

Groupe mult. : $(g^a)^b = g^{ab} = (g^b)^a$

Diffie-Hellman (1976)

● est public

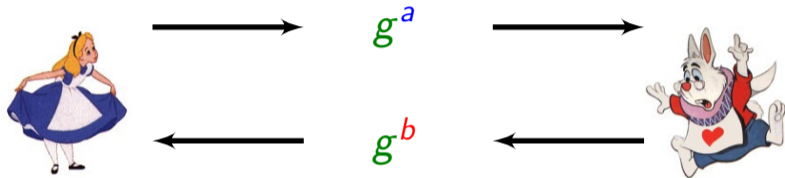


- ▶ $g = \bullet$
- ▶ $a = \bullet$
- ▶ $b = \bullet$

Groupe mult. : $(g^a)^b = g^{ab} = (g^b)^a$

Diffie-Hellman (1976)

● est public



secret ●

● & ● & ●

● secret

▶ $g = ●$

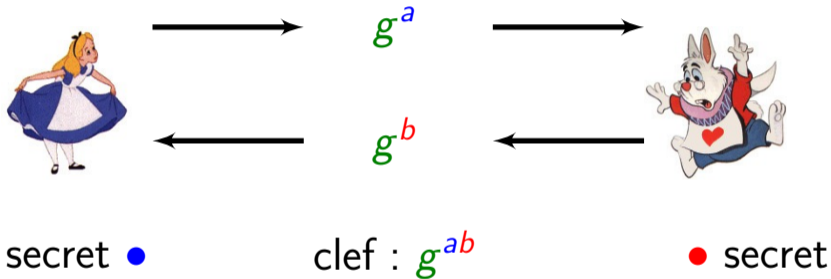
▶ $a = ●$

▶ $b = ●$

Groupe mult. : $(g^a)^b = g^{ab} = (g^b)^a$

Diffie-Hellman (1976)

● est public

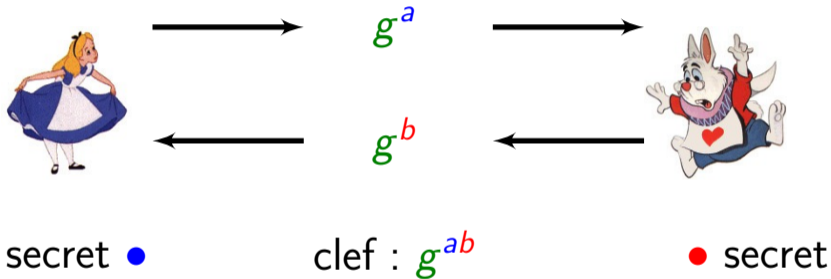


- ▶ $g = \bullet$
- ▶ $a = \bullet$
- ▶ $b = \bullet$

Groupe mult. : $(g^a)^b = g^{ab} = (g^b)^a$

Diffie-Hellman (1976)

- est public



- ▶ $g = \bullet$
- ▶ $a = \bullet$
- ▶ $b = \bullet$

Groupe mult. : $(g^a)^b = g^{ab} = (g^b)^a$

Groupe add. : $[b][a]G = [ab]G = [a][b]G$

Groupe des points d'une courbe elliptique

$$\mathbb{E}(\mathbb{F}_q) = (\{(x, y) \in \mathbb{F}_q \mid y^2 = x^3 + ax + b\} \cup \{\mathcal{O}\}, \oplus)$$

$$[a]P = \underbrace{P \oplus \dots \oplus P}_{a \text{ fois}}$$

Groupe des points d'une courbe elliptique

$$\mathbb{E}(\mathbb{F}_q) = (\{(x, y) \in \mathbb{F}_q \mid y^2 = x^3 + ax + b\} \cup \{\mathcal{O}\}, \oplus)$$

$$[a]P = \underbrace{P \oplus \dots \oplus P}_{a \text{ fois}}$$

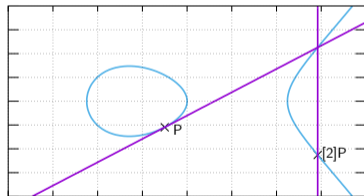
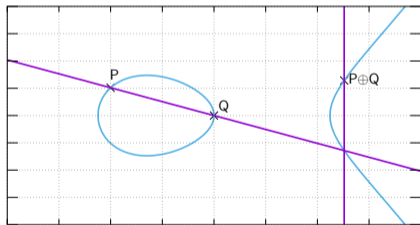
⚠ Le **logarithme discret** ($a = \log_P(Q)$ pour $Q = [a]P$, connaissant P et Q) doit être **difficile** pour protéger les clefs

Groupe des points d'une courbe elliptique

$$\mathbb{E}(\mathbb{F}_q) = (\{(x, y) \in \mathbb{F}_q \mid y^2 = x^3 + ax + b\} \cup \{\mathcal{O}\}, \oplus)$$

$$[a]P = \underbrace{P \oplus \dots \oplus P}_{a \text{ fois}}$$

Loi de groupe :



⚠ Le **logarithme discret** ($a = \log_P(Q)$ pour $Q = [a]P$, connaissant P et Q) doit être **difficile** pour protéger les clefs

Calcul d'index sur courbes elliptiques

 [Gaudry 2005]

 [Faugère, Gaudry, Huot, Renault 2013]

 [Faugère, Huot, Joux, Renault, Vitse 2014]

Entrées: $P, Q \in \mathbb{E}(\mathbb{F}_{2^{n\ell}})$.

Sortie: $a \in \mathbb{Z}$ tel que $Q = [a]P$.

Calcul d'index sur courbes elliptiques

Entrées: $P, Q \in \mathbb{E}(\mathbb{F}_{2^{n\ell}})$.

Sortie: $a \in \mathbb{Z}$ tel que $Q = [a]P$.

1: Famille : $\mathcal{F} = \{(x, y) \in \mathbb{E}(\mathbb{F}_{2^{n\ell}}) \mid x \in \mathbb{F}_{2^\ell}\}$

Calcul d'index sur courbes elliptiques

Entrées: $P, Q \in \mathbb{E}(\mathbb{F}_{2^{n\ell}})$.

Sortie: $a \in \mathbb{Z}$ tel que $Q = [a]P$.

1: Famille : $\mathcal{F} = \{(x, y) \in \mathbb{E}(\mathbb{F}_{2^{n\ell}}) \mid x \in \mathbb{F}_{2^\ell}\}$

2: Crible : $[a_j]P \oplus [b_j]Q = R_1 \oplus \dots \oplus R_k$, avec $R_i \in \mathcal{F}$

Calcul d'index sur courbes elliptiques

Entrées: $P, Q \in \mathbb{E}(\mathbb{F}_{2^{n\ell}})$.

Sortie: $a \in \mathbb{Z}$ tel que $Q = [a]P$.

1: Famille : $\mathcal{F} = \{(x, y) \in \mathbb{E}(\mathbb{F}_{2^{n\ell}}) \mid x \in \mathbb{F}_{2^\ell}\}$

2: Crible : $[a_j]P \oplus [b_j]Q = R_1 \oplus \dots \oplus R_k$, avec $R_i \in \mathcal{F}$

3: LinAlg. : $\sum_j [\lambda_j \cdot a_j]P \oplus [\lambda_j \cdot b_j]Q = 0_{\mathbb{E}(\mathbb{F}_{2^{n\ell}})}$

Calcul d'index sur courbes elliptiques

Entrées: $P, Q \in \mathbb{E}(\mathbb{F}_{2^{n\ell}})$.

Sortie: $a \in \mathbb{Z}$ tel que $Q = [a]P$.

1: Famille : $\mathcal{F} = \{(x, y) \in \mathbb{E}(\mathbb{F}_{2^{n\ell}}) \mid x \in \mathbb{F}_{2^\ell}\}$

2: Crible : $[a_j]P \oplus [b_j]Q = R_1 \oplus \dots \oplus R_k$, avec $R_i \in \mathcal{F}$

3: LinAlg. : $\sum_j [\lambda_j \cdot a_j]P \oplus [\lambda_j \cdot b_j]Q = 0_{\mathbb{E}(\mathbb{F}_{2^{n\ell}})}$

4: Remontée : $\begin{bmatrix} \alpha_1 \\ \alpha_2 \end{bmatrix} P \oplus \begin{bmatrix} \beta_1 \\ \beta_2 \end{bmatrix} Q = 0_{\mathbb{E}(\mathbb{F}_{2^{n\ell}})}$; $u\beta_1 + v\beta_2 = 1$; $a \leftarrow -(u\alpha_1 + v\alpha_2)$

Calcul d'index sur courbes elliptiques

Entrées: $P, Q \in \mathbb{E}(\mathbb{F}_{2^{n\ell}})$.

Sortie: $a \in \mathbb{Z}$ tel que $Q = [a]P$.

1: Famille : **sous-ensemble structuré**

$$\#\mathcal{F} \approx 2^\ell/4$$

2: Crible : $[a_j]P \oplus [b_j]Q = R_1 \oplus \dots \oplus R_k$, avec $R_i \in \mathcal{F}$

3: LinAlg. : $\sum_j [\lambda_j \cdot a_j]P \oplus [\lambda_j \cdot b_j]Q = 0_{\mathbb{E}(\mathbb{F}_{2^{n\ell}})}$

4: Remontée : $\begin{bmatrix} \alpha_1 \\ \alpha_2 \end{bmatrix} P \oplus \begin{bmatrix} \beta_1 \\ \beta_2 \end{bmatrix} Q = 0_{\mathbb{E}(\mathbb{F}_{2^{n\ell}})}$; $u\beta_1 + v\beta_2 = 1$; $a \leftarrow -(u\alpha_1 + v\alpha_2)$

Calcul d'index sur courbes elliptiques

Entrées: $P, Q \in \mathbb{E}(\mathbb{F}_{2^{n\ell}})$.

Sortie: $a \in \mathbb{Z}$ tel que $Q = [a]P$.

1: Famille : **sous-ensemble structuré**

$$\#\mathcal{F} \approx 2^\ell/4$$

2: Crible : **bases de Gröbner**

$$\text{Proba. } 1/(2^{n-1}n!)$$

3: LinAlg. : $\sum_j [\lambda_j \cdot a_j]P \oplus [\lambda_j \cdot b_j]Q = 0_{\mathbb{E}(\mathbb{F}_{2^{n\ell}})}$

4: Remontée : $\begin{bmatrix} \alpha_1 \\ \alpha_2 \end{bmatrix} P \oplus \begin{bmatrix} \beta_1 \\ \beta_2 \end{bmatrix} Q = 0_{\mathbb{E}(\mathbb{F}_{2^{n\ell}})}$; $u\beta_1 + v\beta_2 = 1$; $a \leftarrow -(u\alpha_1 + v\alpha_2)$

Calcul d'index sur courbes elliptiques

Entrées: $P, Q \in \mathbb{E}(\mathbb{F}_{2^{n\ell}})$.

Sortie: $a \in \mathbb{Z}$ tel que $Q = [a]P$.

1: Famille : **sous-ensemble structuré**

$$\#\mathcal{F} \approx 2^\ell/4$$

2: Crible : **bases de Gröbner**

$$\text{Proba. } 1/(2^{n-1}n!)$$

3: LinAlg. : **creuse**

$$2^{\ell-2} \times 2^{\ell-2}, \text{ sur } \mathbb{F}_{2^{n\ell}}$$

4: Remontée : $\begin{bmatrix} \alpha_1 \\ \alpha_2 \end{bmatrix} P \oplus \begin{bmatrix} \beta_1 \\ \beta_2 \end{bmatrix} Q = 0_{\mathbb{E}(\mathbb{F}_{2^{n\ell}})}$; $u\beta_1 + v\beta_2 = 1$; $a \leftarrow -(u\alpha_1 + v\alpha_2)$

Crible algébrique

- ▶ Trouver des $M = [a_j]P \oplus [b_j]Q$ (**recherche aléatoire**) en relation avec la sous-famille \mathcal{F} :

$$R_1, \dots, R_k, \text{ avec } R_i \in \mathcal{F} \text{ tels que } M = R_1 \oplus \dots \oplus R_k ?$$

Crible algébrique

- Trouver des $M = [a_j]P \oplus [b_j]Q$ (recherche aléatoire) en relation avec la sous-famille \mathcal{F} :

R_1, \dots, R_k , avec $R_i \in \mathcal{F}$ tels que $M = R_1 \oplus \dots \oplus R_k$?

$$\text{PoSSo} : \begin{cases} x_i \in \mathbb{F}_{2^\ell} \\ (x_i, y_i) \in \mathbb{E}(\mathbb{F}_{2^{n\ell}}) : y_i^2 = x_i^3 + ax_i + b \\ (M_x, M_y) - (x_1, y_1) \oplus (x_2, y_2) \oplus \dots \oplus (x_k, y_k) = 0 \end{cases}$$

Crible algébrique

- Trouver des $M = [a_j]P \oplus [b_j]Q$ (recherche aléatoire) en relation avec la sous-famille \mathcal{F} :

R_1, \dots, R_k , avec $R_i \in \mathcal{F}$ tels que $M = R_1 \oplus \dots \oplus R_k$?

$$\text{PoSSo} : \begin{cases} x_i \in \mathbb{F}_{2^\ell} \\ (x_i, y_i) \in \mathbb{E}(\mathbb{F}_{2^{n\ell}}) : y_i^2 = x_i^3 + ax_i + b \\ (M_x, M_y) - (x_1, y_1) \oplus (x_2, y_2) \oplus \dots \oplus (x_k, y_k) = 0 \end{cases}$$

$$(x_1, y_1) \oplus (x_2, y_2) = \left(\frac{x_1 y_1 + x_2 y_2}{x_1 x_2 + y_1 y_2}, \frac{x_1 y_1 - x_2 y_2}{x_1 y_2 - y_1 x_2} \right) \in \mathbb{F}_{2^{n\ell}}^2$$

Crible algébrique

- Trouver des $M = [a_j]P \oplus [b_j]Q$ (recherche aléatoire) en relation avec la sous-famille \mathcal{F} :

R_1, \dots, R_k , avec $R_i \in \mathcal{F}$ tels que $M = R_1 \oplus \dots \oplus R_k$?

$$\text{PoSSo} : \begin{cases} x_i \in \mathbb{F}_{2^\ell} \\ (x_i, y_i) \in \mathbb{E}(\mathbb{F}_{2^{n\ell}}) : y_i^2 = x_i^3 + ax_i + b \\ (M_x, M_y) - (x_1, y_1) \oplus (x_2, y_2) \oplus \dots \oplus (x_k, y_k) = 0 \end{cases}$$

$$(x_1, y_1) \oplus (x_2, y_2) = \left(\frac{x_1 y_1 + x_2 y_2}{x_1 x_2 + y_1 y_2}, \frac{x_1 y_1 - x_2 y_2}{x_1 y_2 - y_1 x_2} \right) \in \mathbb{F}_{2^{2n\ell}}$$

$$x_i, y_i \in \mathbb{F}_{2^{n\ell}} \cong \left(\mathbb{F}[z] \bmod z^{n\ell} + \dots + p_2 z^2 + p_1 z + 1 \bmod 2 \right)$$

Bases de Gröbner et systèmes polynomiaux

- ▶ base de Gröbner d'un idéal polynomial \mathcal{I}
 - ▶ \prec ordre monomial
 - ▶ Base de Gröbner G :

 [Buchberger 1976]

$$\forall p \in \mathcal{I}, \exists g \in G, \text{LeadMonom}(g, \prec) \mid \text{LeadMonom}(p, \prec)$$

Bases de Gröbner et systèmes polynomiaux

- ▶ base de Gröbner d'un idéal polynomial \mathcal{I}

 [Buchberger 1976]

- ▶ \prec ordre monomial
- ▶ Base de Gröbner G :

$$\forall p \in \mathcal{I}, \exists g \in G, \text{LeadMonom}(g, \prec) \mid \text{LeadMonom}(p, \prec)$$

- ▶ Résolution de Systèmes Polynomiaux sur un corps fini

- ▶ PoSSo_q :

$$\begin{cases} p_1(z_1, \dots, z_m) = 0 \\ \vdots \\ p_n(z_1, \dots, z_m) = 0 \end{cases}$$

- ▶ NP-dur

Exemple de résolution avec base de Gröbner

$$\begin{cases} 0 = 2TX - 2YZ + 3Z^2 \\ 0 = -2TY + 2XZ \\ 0 = 2TZ - 2XY - 2X \\ 0 = T^2 + X^2 + Z^2 - 1 \end{cases}$$

Exemple de résolution avec base de Gröbner

$$\begin{cases} 0 = 2TX - 2YZ + 3Z^2 \\ 0 = -2TY + 2XZ \\ 0 = 2TZ - 2XY - 2X \\ 0 = T^2 + X^2 + Z^2 - 1 \end{cases} \iff \begin{cases} 0 = 1152X^7 - 1763X^5 + 655X^3 - 44X \\ 0 = -1152X^6 + 118TX^3 + 1605X^4 - 118TX - 453X^2 \\ 0 = -1152X^5 + 3835TX^2 - 1404X^3 + 3835XZ + 2556X \\ 0 = -335232X^6 + 477321X^4 - 11505TX - 134419X^2 + 7670Y - 11505 \\ 0 = -6912X^5 + 3835T^2X + 10751X^3 - 3839X \\ 0 = -19584X^5 + 25987X^3 + 3835TZ - 6403X \\ 0 = -9216X^5 + 3835T^3 + 3835TX^2 + 11778X^3 - 3835T - 2562X \\ 0 = T^2 + X^2 + Z^2 - 1 \end{cases}$$

Exemple de résolution avec base de Gröbner

$$\begin{cases} 0 = 2TX - 2YZ + 3Z^2 \\ 0 = -2TY + 2XZ \\ 0 = 2TZ - 2XY - 2X \\ 0 = T^2 + X^2 + Z^2 - 1 \end{cases} \iff \begin{cases} 0 = 1152X^7 - 1763X^5 + 655X^3 - 44X \\ 0 = -1152X^6 + 118TX^3 + 1605X^4 - 118TX - 453X^2 \\ 0 = -1152X^5 + 3835TX^2 - 1404X^3 + 3835XZ + 2556X \\ 0 = -335232X^6 + 477321X^4 - 11505TX - 134419X^2 + 7670Y - 1150 \\ 0 = -6912X^5 + 3835T^2X + 10751X^3 - 3839X \\ 0 = -19584X^5 + 25987X^3 + 3835TZ - 6403X \\ 0 = -9216X^5 + 3835T^3 + 3835TX^2 + 11778X^3 - 3835T - 2562X \\ 0 = T^2 + X^2 + Z^2 - 1 \end{cases}$$

- ▶ Buchberger 1976 : $\mathcal{O}(d^{2^{n+o(1)}})$
- ▶ Aujourd'hui : algorithmes F4, F5, systèmes creux, invariants, FGLM, ...
- ⇒ plusieurs centaines de polynômes, chacun avec plusieurs centaines de termes et coefficients de plusieurs centaines de chiffres.

Algorithme de Buchberger

Entrées: un système de polynômes $F = (f_1, \dots, f_n)$, un ordre monomial \prec

Sortie: une base de Gröbner de $\langle f_1, \dots, f_n \rangle$

- 1: $G \leftarrow F$
- 2: **Répéter**
- 3: $G' \leftarrow G$
- 4: **Pour** chaque paire $\{P, Q\}$ de G' **Faire**
- 5: $m \leftarrow \text{ppcm}(\text{LeadMonom}(P), \text{LeadMonom}(Q))$
- 6: $S \leftarrow \text{LeadCoeff}(P) \frac{m}{\text{LeadMonom}(P)} P - \text{LeadCoeff}(Q) \frac{m}{\text{LeadMonom}(Q)} Q$
- 7: $R \leftarrow S \bmod G'$
- 8: **Si** $R \neq 0$ **Alors** $G \leftarrow G \cup \{R\}$
- 9: **Fin Pour**
- 10: **Jusqu'à ce que** $G = G'$
- 11: **Retourner** G

► Borne de complexité générique : $\mathcal{O}\left(d^{2^{m+o(1)}}\right)$

40 ans de bases de Gröbner

- ▶ Algorithmes F4, F5 : n equations, m variables, D_{reg} degré de régularité¹ :

$$\mathcal{O} \left(m \cdot \binom{n + D_{reg}}{D_{reg}}^\omega \right)$$

- ▶ Systèmes creux ou structurés ;
- ▶ Invariants ;
- ▶ Puis FGLM : Idéal de dimensions 0, Z nombre de solutions, changement d'ordre monomial en $\mathcal{O}(mZ^\omega)$;
- ▶ ...

⇒ Aujourd'hui : plusieurs centaines de polynômes, chacun avec plusieurs centaines de termes et coefficients de plusieurs centaines de chiffres.

1. $D_{reg}(p_1, \dots, p_n) = \min \left\{ D_0 \geq 0 \mid \dim_{F_q} (\{p \in \mathcal{I} \mid \deg(p) = D_0\}) = \#\text{Monomials}_q(m, D_0) \right\}$

Projet HPAC

ANR HPAC [2012-2016] : Grenoble, Lyon, Montpellier, Paris, North Carolina

- ▶ Logarithme discret dans une courbe ayant $\approx 2^{114}$ points dans $\mathbb{F}_{2^{116}}^2 = \mathbb{F}_{2^{4 \times 29}}^2$

Projet HPAC

ANR HPAC [2012-2016] : Grenoble, Lyon, Montpellier, Paris, North Carolina

- ▶ Logarithme discret dans une courbe ayant $\approx 2^{114}$ points dans $\mathbb{F}_{2^{116}}^2 = \mathbb{F}_{2^{4 \times 29}}^2$

1. Crible :

- ▶ $2^{29} = 536\,870\,912$ relations creuses
- ▶ Une semaine sur plus de 1000 ordinateurs personnels de Paris 6

Projet HPAC

ANR HPAC [2012-2016] : Grenoble, Lyon, Montpellier, Paris, North Carolina

- ▶ Logarithme discret dans une courbe ayant $\approx 2^{114}$ points dans $\mathbb{F}_{2^{116}}^2 = \mathbb{F}_{2^{4 \times 29}}^2$

1. Crible :

- ▶ $2^{29} = 536\,870\,912$ relations creuses
- ▶ Une semaine sur plus de 1000 ordinateurs personnels de Paris 6

2. Algèbre linéaire :

- ▶ Filtrage : 7 196 707 équations et inconnues, 11Go de coefficients
- ▶ Solution : Un serveur 32 cœurs à Grenoble

2.1 Séquence (itérations) : 57 jours

2.2 Polynôme minimal : 54 heures avec 561 Go de RAM/Swap

2.3 Évaluation : 19 jours

Projet HPAC

ANR HPAC [2012-2016] : Grenoble, Lyon, Montpellier, Paris, North Carolina

- ▶ Logarithme discret dans une courbe ayant $\approx 2^{114}$ points dans $\mathbb{F}_{2^{116}}^2 = \mathbb{F}_{2^{4 \times 29}}^2$

1. Crible :

- ▶ $2^{29} = 536\,870\,912$ relations creuses
- ▶ Une semaine sur plus de 1000 ordinateurs personnels de Paris 6

2. Algèbre linéaire :

- ▶ Filtrage : 7 196 707 équations et inconnues, 11Go de coefficients
- ▶ Solution : Un serveur 32 cœurs à Grenoble

2.1 Séquence (itérations) : 57 jours

2.2 Polynôme minimal : 54 heures avec 561 Go de RAM/Swap

2.3 Évaluation : 19 jours

⇒ Courbe IPSEc, $\approx 2^{151}$ points dans $\mathbb{F}_{2^{155}}^2 = \mathbb{F}_{2^{5 \times 31}}^2$: Crible \times 3000, LinAlg \times 22 ...